УДК 621.316.925.1

М.Я. Клецель, М.Т. Токомбаев, А.Б. Жантлесова КОНСТРУКЦИИ ДЛЯ НАСТРОЙКИ ЗАЩИТ НА ГЕРКОНАХ ТОКОПРОВОДОВ НАПРЯЖЕНИЕМ 6÷35 КВ

Для токопроводов, расположенных по вершинам треугольника, предлагаются две конструкции для регулирования уставок защит, не нуждающихся в трансформаторах тока. Отличительной особенностью первой является установка трех немагнитных штанг с платформами для герконов на конструкцию, крепящую токопроводы, второй — деревянная опора, горизонтальная и две вертикальные немагнитные штанги, соединенные между собой так, чтобы предотвратить возможное качание токопровода. Рассмотрен пример установки положения герконов для выполнения функций фильтра тока обратной последовательности.

Актуальность и практическая значимость. В релейной защите (РЗ) электроэнергетических систем одним из путей экономии ресурсов (меди и стали) может быть создание устройств, не нуждающихся в трансформаторах тока. При этом возможно использование, например, датчиков Холла или другой элементной базы. Для построения РЗ нами выбраны магнитоуправляемые контакты (МК) - герконы, поскольку они нашли весьма широкое распространение в технике [1, 2] и в сравнении с другими магниточувствительными преобразователями обладают важными для РЗ преимуществами: не нуждаются в устройствах компенсации влияния температуры, могут одновременно выполнять функции аналого-дискретного преобразователя, измерительного преобразователя и реагирующего элемента, передача сигнала осуществляется по цепям управления, а не измерительным. Уже разработаны принципы построения некоторых РЗ на МК [3, 4] и конкретные устройства, например [5, 6].

Однако выполнение РЗ на МК требует построения специальных устройств для крепления герконов и настройки измерительного органа защиты, конструкции которых в значительной степени зависят от расположения фаз электроустановки, её напряжения, типа распределительного устройства, исполнения токоведущих частей, вблизи которых должен быть установлен геркон, типа защит. Такие конструкции разработаны для воздушных линий и трансформаторов [7]. В данной работе предлагаются конструкции для регулирования уставок защит на герконах токопроводов напряжением 6÷35 кВ с фазами, расположенными по вершинам треугольника [8]. Отметим, что при изготовлении конструкции необхо-

димо использовать немагнитные материалы для исключения искажения магнитных полей, создаваемых токами фаз. Поскольку рассматриваемые токопроводы используются вне помещений, в предлагаемых конструкциях предусмотрено применение специальных кожухов, защищающих герконы, контактные соединения и провода от неблагоприятного воздействия внешней окружающей среды.

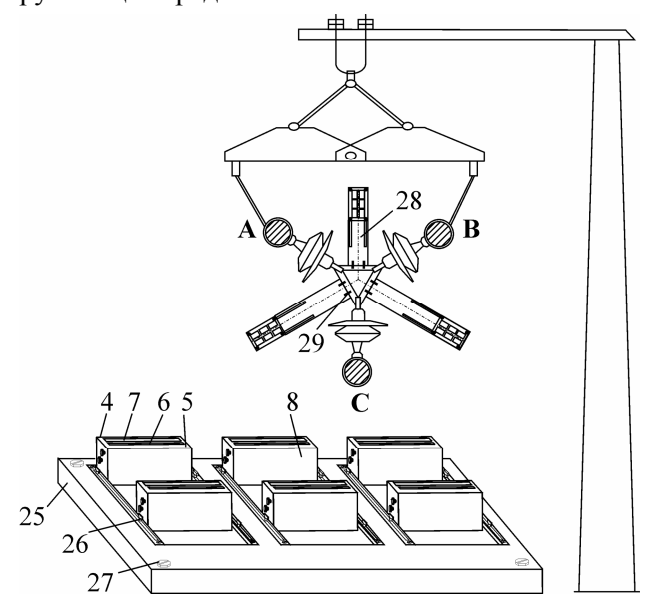


Рисунок 1

Первая конструкция (рисунки 1, 2) содержит геркон 1, пластину 2 с резьбой 3, кожух 4, состоящий из верхней части 5 со шкалой 6 и прямоугольным окошком 7, передней и задней частей 8 с пазами 9 и боковой части 10 с отверстиями 11, стержни 12, 13 с резьбами 14, 15 соответственно, ручку 16 с контргайкой 17, платформу 18 с ползунами 19 и отверстием с внут-

ренней резьбой 20, фиксирующие винты 21, губки для герконов 22, градуировку 23, крепежные ушки 24, пластины с герконами 25, зажимы 26, болты с гайками-барашками 27, штанги 28 со шкалой и отверстиями, крепежные болты 29.

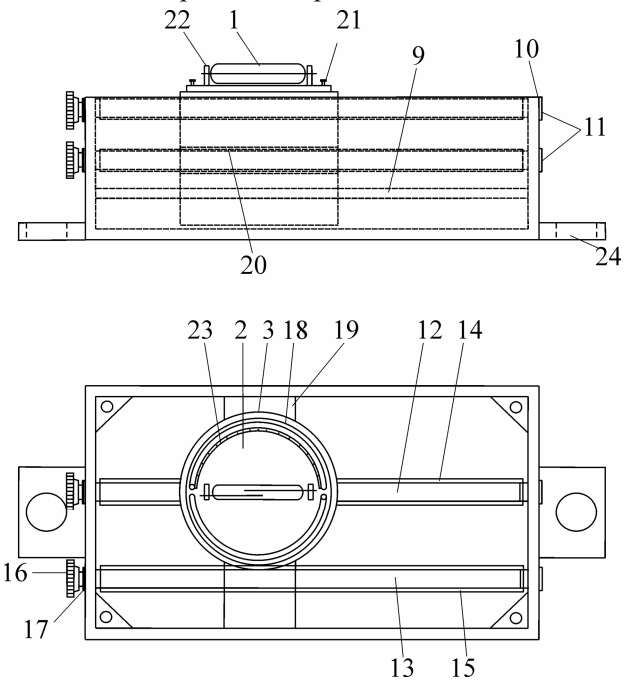


Рисунок 2

Расположение пластины 25 можно изменять вдоль длины штанги 28 со шкалой при помощи болтов с гайками-барашками 27. Штанги 28 прикреплены к сторонам правильного треугольника крепежными болтами 29. Перемещение геркона 1 на пластине влево или вправо относительно токопроводов осуществляется перемещением платформы 18 по стержню 12 с резьбой 14. Количественная оценка перемещения отражается на шкале 6 верхней части 5 кожуха 4. Изменение расстояния между токопроводом и герконом в вертикальной плоскости достигается изменением положения кожуха 4 путем фиксации крепежного ушка 24 с помощью зажимов 26. Угол между горизонтальной плоскостью и продольной осью геркона изменяется ручкой 16, которая воздействует на пластину 2 с резьбой 3 и стержень 13 с резьбой 15. Количественная оценка изменения угла отражается на платформе 18 с градуировкой 23 через окошко 7 верхней части кожуха. Положение герконов на остальных пластинах регулируется аналогично.

Вторая конструкция (рисунок 3) содержит три немагнитные штанги 1, 2, 3, три немагнитные штанги 4, 5, 6 со шкалами 7, две соединительные пластины 8, болты 9, два хомута 10, деревянную опору 11, две металлических растяжки 12, крепежные зажимы 13, разъемные кожухи с механизмом изменения положения геркона, ана-

логичным кожуху первой конструкции (рисунок 2) без возможности изменения угла между горизонтальной плоскостью и продольной осью геркона с помощью стержня 13. Данное изменение осуществляется ручным вращением пластины 2 и ее фиксацией винтами 21.

Один конец немагнитных штанг 4, 5, 6 соединен болтами с конструкцией в виде правильного треугольника, второй конец штанги 4 присоединен к горизонтальной части опоры токопровода, штанги 5, 6 присоединяются к штанге 1 с помощью соединительных пластин 8, болтового соединения, штанг 2, 3 и крепежных зажимов 13, середина немагнитной штанги 1 присоединена болтами к деревянной опоре 11 с хомутом 10, укрепленной металлическими растяжками 12, штанга 1 присоединена хомутом 10 к опоре токопровода, разъемный кожух крепежными петлями присоединен к немагнитным штангам 4, 5, 6.

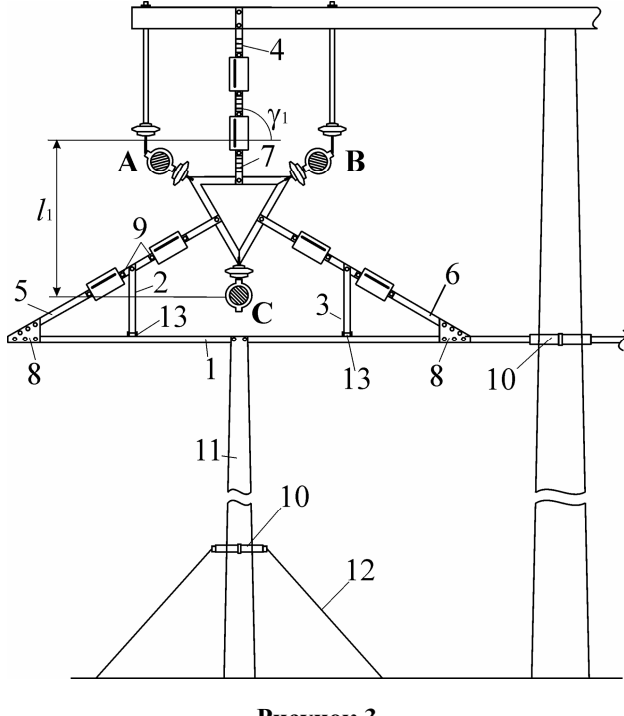


Рисунок 3

Рассмотрим, как устанавливаются МК 1, 2 (рисунок 4) на примере второй конструкции для выполнения функции фильтра тока обратной последовательности, аналогичного [9].

Пусть МК 1, 2 расположены в вертикальной плоскости около шин электроустановки фаз A, B, C. На МК 1 (2) намотана обмотка 3 (4). Обмотка 4 подключена к обмотке 3 через усилитель 5, фазоповоротную схему (ФПС) и регулировочный резистор R.

Положение МК определяется расстояниями x_1 , x_2 от вертикали, проходящей через токопровод фазы A, до центров тяжести МК 1, 2; расстояниями h_1 , h_2 от горизонтали l, проходящей

через токопровод фазы C, до центров тяжести МК 1, 2 соответственно; углами γ_1 , γ_2 между горизонталью l и продольными осями (ПО) MK 1, 2.

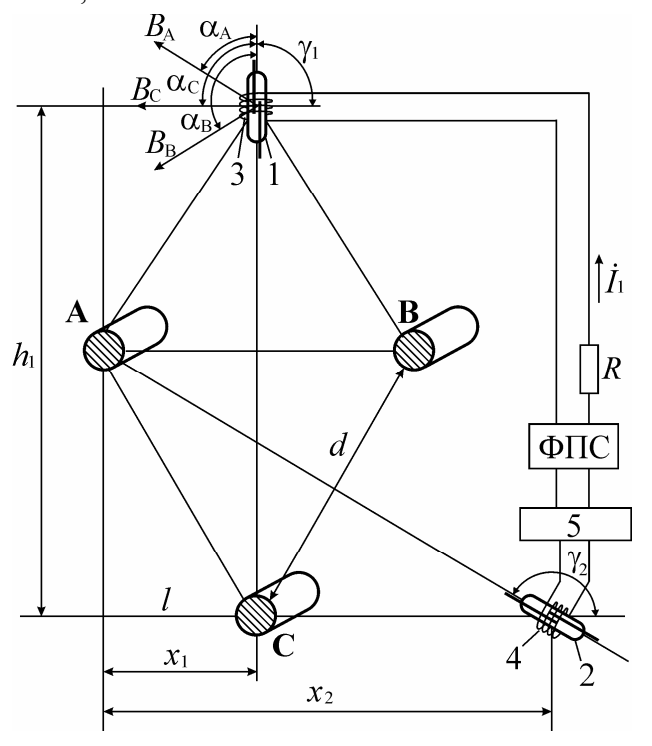


Рисунок 4

Согласно [10], ток обратной последовательности можно представить как

$$3\dot{I}_{(2)A}=(\dot{I}_A-\dot{I}_B)+(\dot{I}_B-I_C)e^{-j60^0}$$
 ,(1) где \dot{I}_A (\dot{I}_B и \dot{I}_C) — ток в фазе A (B и C).

Покажем, что МК 1 выполняет функции реагирующего органа при протекании тока $I_{(2)}$ обратной последовательности по фазам электроустановки.

Индукцию суммарного магнитного поля (МП), действующего на контакты МК 1, можно представить как

$$\begin{array}{ccc}
\bullet^{\Sigma} & \bullet^{\text{MK1}} & \bullet \\
B_{\Pi P} & = B_{\Pi P} & + B_{\text{OBM}},
\end{array} (2)$$

• MK1 где $B_{\Pi P}$ – индукция МП от фаз A, B, C электроустановки вдоль ПО геркона 1 в точке расположения его центра тяжести; Вобм – индукция МП, созданного током I_1 , протекающим в обмотке 3.

Для реализации (1) необходимо, чтобы выполнялись следующие равенства:

$$\begin{array}{ll} \bullet^{MK1} & \bullet & \bullet \\ B_{\Pi P} & = \mu_0 g_A^{MK1} (I_A - I_B) / 2\pi = K_1 (I_A - I_B), \end{array} \tag{3}$$

$$\begin{array}{l} {\overset{\bullet}{B}}_{OBM} = \overset{\bullet}{K_{2}} \cdot \overset{\bullet}{B}_{\Pi P} \overset{\bullet}{\cdot} e^{-j60^{0}} = \overset{\bullet}{K_{2}} \cdot \mu_{0} g_{B}^{MK2} x \\ {\overset{\bullet}{x}} (I_{B} - I_{C}) \cdot e^{-j60^{0}} / 2\pi \end{array} \tag{4}$$

где μ_0 – магнитная проницаемость воздуха; $g_{\scriptscriptstyle A}^{\rm MK1}$ ($g_{\scriptscriptstyle B}^{\rm MK2}$) — коэффициент, характеризующий влияние тока фазы A(B) на MK1 (MK2), напри-

Mep
$$g_A^{\text{MK1}} = \frac{x_1 \sin \gamma_1 - (h_1 - \frac{\sqrt{3}}{2}d)\cos \gamma_1}{(h_1 - \frac{\sqrt{3}}{2}d)^2 + x_1^2}; d$$
 - pac-

стояние между токопроводами; Впр - индукция МП от фаз A, B, C электроустановки вдоль ПО геркона 2 в точке расположения его центра тяжести; K_1 , K_2 – коэффициенты пропорциональности.

Выражения (3), (4) получены из представленной в [3] в общем виде формулы для магнитной индукции $\dot{B}_{\Pi \mathrm{P}}$, действующей вдоль $\Pi \mathrm{O}$ геркона, при

$$g_A^{\text{MK1}} = -g_B^{\text{MK1}}, g_C^{\text{MK1}} = 0, g_B^{\text{MK2}} = -g_C^{\text{MK2}}, g_A^{\text{MK2}} = 0,$$
 (5)

 $g_B^{
m MK2}\!=\!-g_C^{
m MK2},\;g_A^{
m MK2}\!=\!0,$ где $g_B^{
m MK1},\;g_C^{
m MK1},\;g_A^{
m MK2},\;g_C^{
m MK2}$ — коэффициенты, аналогичные g_A^{MK1}

Поток вектора магнитной индукции $B_{\Pi P}$ через площадь S поперечного сечения обмотки 4 есть магнитный поток Ф, который на ее выходах наводит ЭДС \dot{E} , сдвинутую на угол $^{\rm MK2}$

 $\pi/2$ относительно Ф. Е усиливается усилителем 5 и создает ток \dot{I}_1 (рисунок 4)

$$\overset{\bullet}{I}_{1} = \frac{\overset{\bullet}{K}_{3} \cdot \overset{\bullet}{K}_{y}}{(R + \overset{\bullet}{R}_{\Sigma})} \cdot \overset{\bullet}{B}_{\Pi P}^{MK2} \cdot e^{-j60^{0}} ,$$

где R_{Σ} - сопротивление соединительных прово-

дов и обмотки 3; К₃ - коэффициент пропорциональности; Ку - коэффициент усиления усилителя 5.

Компенсация сдвига на угол $\pi/2$ и поворот на -60° согласно (4) осуществляется в ФПС.

Ток \dot{I}_1 создает магнитное поле с индукцией Вобм, направленной вдоль ПО МК 1, в точке, совпадающей с центром тяжести МК 1.

Регулировать Вобм можно за счет изменения коэффициента $K_{\rm y}$ и сопротивления резистора R. При этом необходимо получить

$$\overset{\bullet}{K}_{2} = \overset{\bullet}{K_{1}} / \underset{\mu_{0} g_{R}^{MK2} / 2\pi}{/} .$$
(6)

Учитывая (1), (6) и подставляя (3), (4) в (2), получаем

$$\stackrel{\bullet}{B}_{\Pi P}^{\Sigma} = \stackrel{\bullet}{K}_1 \!\cdot \! 3 \stackrel{\bullet}{I}_{(2)A} \; . \label{eq:beta}$$

Координаты установки МК1 находим, рассматривая соответствующие равенства в (5), как систему уравнений относительно x_1 , h_1 и γ_1 . Например, для электроустановки 35 кВ (по [8] d=1,01м) находим следующие координаты точек крепления МК1: x_1 =0,505м, h_1 =1,75м, γ_1 =90 0 . Для установки МК 1 между токопроводами фаз А и В в точку с этими координатами необходимо определить расстояние l_1 от фазы C до центра тяжести геркона:

$$l_1 = \sqrt{(x_C - x_1^{})^2 + (h_C^{} - h_1^{})^2} = \sqrt{0^2 + 1,75^2} = 1,75 \mathrm{M} \,,$$
 где $(x_C^{}; h_C^{})$ – координаты токопровода фазы C .

Прикрепляем кожух крепежными ушками 24 и болтами (рисунок 2) к немагнитной штанге 4 (рисунок 3) согласно градуировке шкалы 7 на расстояние l_1 =1,75м. Более точная настройка осуществляется вращением стержня 12 (рисунок 2) с резьбой 14. Устанавливаем угол между ПО МК 1 и горизонтальной плоскостью, для этого снимаем кожух 4 (рисунок 1) и поворачиваем пластину 2 (рисунок 2) с герконом 1 на значение γ_1 = 90° согласно градуировке 23. МК 2 крепится аналогично.

Библиографический список

- 1. *Шоффа В.Н.* Герконы и герконовые аппараты. Справочник. М.: Издательство МЭИ, 1993. 284 с.
- 2. Шоффа В.Н., Чингишев А.А. Магнитоуправляемые контакты в автоматике и связи. Фрунзе: Кыргызстан, 1991. 126 с.
- 3. *Клецель М.Я., Мусин В.В.* О построении на герконах защит высоковольтных установок без трансформаторов тока // Электротехника. 1987. №4. С. 11-13.
- 4. *Клецель М.Я.* Принципы построения и модели дифференциальных защит электроустановок на герконах // Электротехника. 1991. №10. С. 47 50.
- 5. *Клецель М.Я., Жуламанов М.А.* Реле сопротивления на герконах // Электротехника. 2004. №5. С. 38 44.
- 6. Клецель М.Я., Мусин В.В. Выбор тока срабатывания максимальной токовой защиты без трансформаторов тока на герконах // Промышленная энергетика. 1990. №4. С. 32 36.
- 7. Клецель М.Я., Майшев П.Н., Таронов К.С. Конструкции для регулирования уставок релейной защиты // Омский научный вестник. 2004. №4(29). С. 110 112.
- 8. *Семчинов А.М.* Токопроводы промышленных предприятий. Л.: Энергия, 1972. 200 с.
 - 9. Патент №18935 Республики Казахстан.

Фильтр тока обратной последовательности на герконах / М.Я. Клецель, А.Б. Жантлесова.

10. Ванин В.К., Павлов Г.М. Релейная защита на элементах вычислительной техники. Л.: Энергоатомиздат, 1991. 336 с.